

GPUを用いた電子ホログラフィ専用計算機の構築 Comparison of PTX codes written in different parallel programming languages

魚谷 智志*
Satoshi Uotani

柁津 佑*
Tasuku Netsu

吉田 慧吾*
Shogo Yoshida

増田 信之*
Nobuyuki Masuda

1. まえがき

近年、3次元テレビや3次元顕微鏡など、ホログラフィ技術をコンピュータに応用した研究が行われている。3次元テレビの実用化には様々な課題があり、ソフトウェア面においてはホログラムの作成に膨大な時間がかかる点が挙げられる。今日では、膨大な計算時間がかかる問題に対して、GPGPUがよく用いられる。GPUは、計算コアが多く並列処理が得意であるため、数値計算に応用することで計算の高速化が期待できる。本研究ではホログラムの作成を高速に行うために、GPUを用いた電子ホログラフィ専用計算システムの構築を目的とした。

2. ホログラフィ

ホログラフィとは、光の干渉や回折を利用して3次元像の記録・再生が行える光技術のことである。図1に3次元像記録の原理を示す。3次元像を記録する場合、光源であるレーザー光をビームスプリッターで2分割し、一方を物体に当たった物体光、もう一方をそのまま参照光とする。物体光と参照光を記録媒体に照射することで、記録面上に位相のずれによる干渉縞(ホログラム)が記録される。本研究では、ホログラムの記録をシミュレーション上で行うCGH(Computer Generated Hologram)計算について高速化を行った。

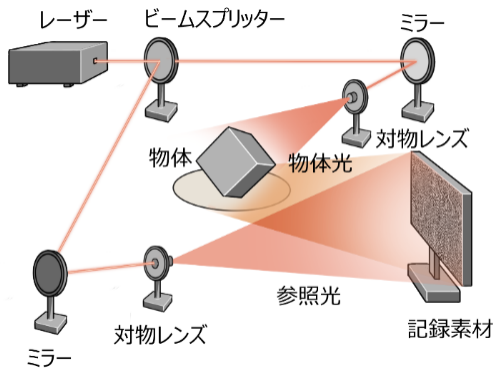


図1: 3次元像の記録原理

2.1 CGH

CGHとは、電子ホログラフィにおけるホログラムを記録する工程のことである。

ここで、図2に示した点光源が1点のホログラムについて考える。点光源の分布は、球面波として考えることができ、条件として点光源の振幅 A は1、初期位相 ϕ は0となるため物体光は、

*東京理科大学基礎工学部

$$\begin{aligned} O(x, y) &= \frac{A}{r} \exp(i(kr + \phi)) \\ &= \frac{1}{r} \exp(ikr) \end{aligned} \quad (1)$$

と表される。参照光についても同様に、振幅は1、初期位相は0となり、

$$\begin{aligned} R(x, y) &= A_R(x, y) \exp(i\phi_R(x, y)) \\ &= 1 \times \exp(i0) = 1 \end{aligned} \quad (2)$$

と表される。物体光と参照光はホログラム面で重なり合うため光強度は、

$$\begin{aligned} I(x, y) &= |O(x, y) + R(x, y)|^2 = \left| \frac{1}{r} \exp(ikr) + 1 \right|^2 \\ &= \frac{1}{r^2} + 1 + \frac{1}{r} \exp(ikr) + \frac{1}{r} \exp(-ikr) \end{aligned} \quad (3)$$

となる。第1項と第2項は、それぞれ物体光と参照光の直接光であり3次元再生に寄与しないため、CGHの計算処理には不要となる。また、式(4)において、係数2は全体にかかるだけで本質的意味合いは無いため、

$$\begin{aligned} I(x, y) &= \frac{1}{r} \exp(ikr) + \frac{1}{r} \exp(-ikr) = \frac{2}{r} \cos(kr) \\ &= \frac{1}{r} \cos(kr) \end{aligned} \quad (4)$$

を求めれば良い。

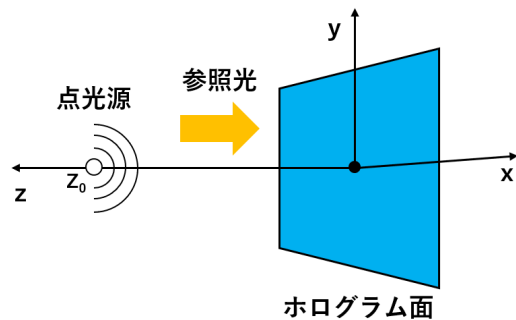


図2: 点光源とホログラム面の位置関係

3. シミュレーション方法

本シミュレーションでは、最初に物体点データをホストPCからGPUに転送する。続いて、GPU上でCGH計算が行われ、計算結果をホスト側に転送する。最後に、ホストPCで計算結果から画像データを作成する。今回は、この一連の流れを16回行うと共にGPU上で行うCGH計算と、データ転送について高速化を行った。

3.1 最適化手法

本シミュレーションでは、3つの最適化手法を用いた。1つ目はCGH計算式の最適化である。本シミュレーションで作成されるホログラムは2値化されるため、近似計算を用いても計算結果に影響はない。したがって、開平計算を取り除くフレネル近似や、三角関数の近似を行った。また、定数部分をホストPCで計算し、除算を取り除くことで計算コストの削減を行った。

2つ目はメモリアクセスの改善である。図3にGPUのプログラマブルメモリの概略図を示す。メモリアクセスの改善においては、Globalメモリへのアクセスの削減を行った。まず、Sharedメモリに書き込めるだけ物体点データを書き込み、CGH計算を行う際はSharedメモリから物体点データにアクセスを行うようにした。また、各物体点における計算結果をレジスタに格納するようにした。この一連の流れを全物体点のCGH計算に対し行い、全ての光強度計算を終えた後にGlobalメモリに計算結果を書き込むことで、Globalメモリへのアクセスの削減を行った。

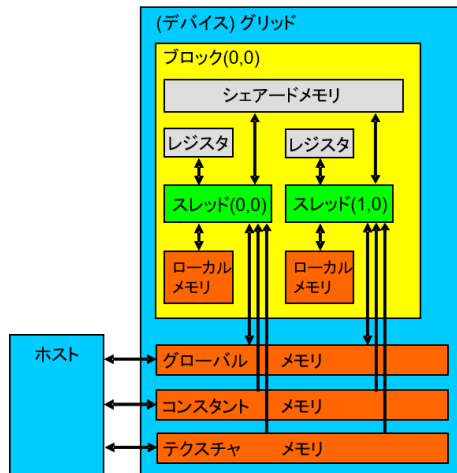


図3: GPUのプログラマブルメモリの概略図

3つ目はデータ通信時間の隠蔽である。GPUではStreamを用いることでカーネルの実行とデータ通信を同時に行うことができる。そこで、データ通信とカーネル実行をStream単位で管理し、Streamを複数立ち上げることでカーネルの実行とデータ通信をオーバーラップさせ、データ通信時間の隠蔽を行った。

3.2 シミュレーション環境

シミュレーション環境を表1に示す。本シミュレーションではfloat型で計算を行い、16枚のホログラムを作成した。物体点数 N を11646、画素数を 2048×1024 、thread数を x, y 両方向共に16とし、参照光の波長 λ を633nm、画素ピッチ p を $10.5 \mu\text{m}$ とした。計算時間の計測にはgettimeofday()関数を使用し、計測範囲は1枚目のCGH計算に用いる物体点の転送開始時間から、16枚目のCGH計算の計算結果がホストPCに転送されるまでとし、計測時間は50回の平均を算出した。

表1: 開発環境

CPU	Intel Core i7 8700K (3.70 GHz)
RAM	64 GB (DDR4-2400)
GPU	NVIDIA GeForce GTX 1080Ti
OS	Ubuntu 18.04
compiler	CUDA10.0

3.3 計測結果

本シミュレーションの計測結果を表2、作成したホログラムを図4に示す。表2より、CPU用プログラムを単純にGPU用の実装した場合、1枚辺りの計算時間は約1.9秒かかり、フレーム数換算すると0.52FPSであったのに対し、最適化を行うことで動画として知覚可能な24.27FPSとなった。また、高速化比を見るとシンプル実装より46.6倍高速に動作した。ただし、本シミュレーションにおけるフレーム数換算は、画像データを作成する工程は含んでいない。そこで、画像データ作成にかかる時間について計測を行ったところ、処理時間は約11.910msであった。

表2: シンプル実装と最適化実装の計算時間

	シンプル実装	最適化実装
計算時間 [ms]	30732.8	659.274
計算時間 (1枚)[ms]	1920.8	41.205
フレーム数 [FPS]	0.52	24.27
高速化比	1	46.6

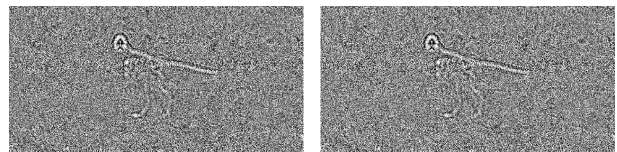


図4: シンプル実装(左)と最適化実装(右)のホログラム

4. まとめと今後の課題

本稿では、GPUを用いてCGH計算の高速化を行い、物体点数11646点の3Dデータを用いて 2048×1024 ピクセルのホログラムを作成した結果、フレーム数換算で24.27FPSとなり、シンプル実装と比較して約46.6倍高速に計算を行うことができた。

しかし、本シミュレーションでは、高級言語レベルでのチューニングしか行っていない。そこで、疑似アセンブリ言語であるPTXの解析を行い、直接PTXを書き換えることで中間言語レベルでのチューニングを行い、更なる高速化を目指したいと考えている。

参考文献

- [1] 伊藤智義, 下馬場朋禄 著, 『ホログラフィ入門 コンピュータを利用した3次元映像・3次元計測』, 講談社, p171, 2017.